

УДК 550.834:622.12

## АНАЛИТИЧЕСКОЕ РЕШЕНИЕ ЗАДАЧИ О РАСПРОСТРАНЕНИИ ВОЛН ЛЯВА В ПЛАСТАХ СЛОЖНОГО СТРОЕНИЯ

**Анциферов В. А.**

(УкрНИИМИ, НАНУ, г. Донецк, Украина)

*У цій роботі пропонується аналітичне розв'язання задачі про поширення хвиль Лява в пластах складної будови, що дозволяє оцінити, яким чином вугільний пласт, що залягає поруч, впливає на структуру і характеристики хвильового поля, формованого в шахтних акустичних експериментах*

*We propose analytical solution of the problem of Love wave propagation within the seams of complex geology that allows to estimate how the nearby-lying coal seam influences the structure and characteristics of wave field generated in mine acoustic experiments.*

Большинство работ, посвященных исследованию процессов распространения сейсмических волн в угленосной толще, рассматривает пласты простого строения, существенно упрощая тем самым анализ волновых полей. Вопрос о механизмах формирования сейсмических колебаний на пластах сложного строения и на сближенных пластах в должной мере практически не рассматривался. В настоящей работе предлагается аналитическое решение задачи о распространении волн Лява в пластах сложного строения, позволяющее оценить, каким образом залегающий рядом угольный пласт влияет на структуру и характеристики волнового поля, формируемого в шахтных акустических экспериментах.

Для уточнения природы волнового поля, образуемого на сближенных пластах, выведем описывающие его аналитические соотношения. Для упрощения ограничимся рассмотрением волн

*SH* поляризації.

Двухмерная модель среды, которая используется при выводе соотношений, изображена на рис. 1.

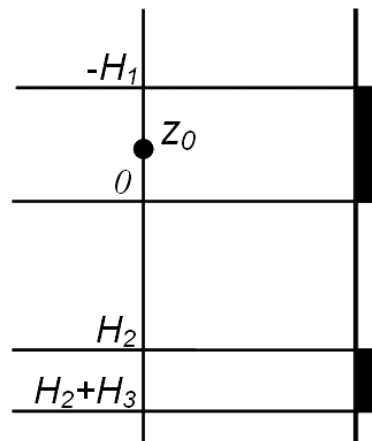


Рис. 1. К выводу аналитического выражения для волнового поля, образуемого на обрабатываемых пластах сложного строения и на сближенных пластах

Как известно для волн Лява, сумму волн всех кратностей, образованную источником внутри обрабатываемого угольного пласта можно (при  $Z > Z_0$ ), представить в виде выражения:

$$\varphi_1 = e^{i(k_{1X}X + k_{1Y}Y)} \left( e^{ik_{1Z}(Z-Z_0)} + V_{10}e^{ik_{1Z}(Z_0+2H_1+Z)} + \right. \\ \left. + V_{12}e^{ik_{1Z}(-Z_0-Z)} + V_{12}V_{10}e^{ik_{1Z}(Z_0+2H_1-Z)} \right) \sum_{m=0}^{\infty} (V_{10}V_{12})^m e^{2ik_{1Z}mH_1} \quad (1)$$

где  $k_{1i}$  – компоненты волнового числа в угле,  $V_{12}$  и  $V_{10}$  – коэффициенты отражения на нижней и верхней границе пласта. Тогда, используя (1), поле  $\varphi_1^+$ , распространяющееся в сторону прослой можно представить в виде:

$$\varphi_1^+ = e^{i(k_{1X}X + k_{1Y}Y)} \left( e^{ik_{1Z}(Z-Z_0)} + V_{10}e^{ik_{1Z}(Z_0+2H_1+Z)} \right) \sum_{m=0}^{\infty} (V_{10}V_{12})^m e^{2ik_{1Z}mH_1} = \\ = \frac{e^{i(k_{1X}X + k_{1Y}Y)} \left( e^{ik_{1Z}(Z-Z_0)} + V_{10}e^{ik_{1Z}(Z_0+2H_1+Z)} \right)}{(1 - V_{10}V_{12}e^{2ik_{1Z}H_1})}$$

Волны преломляются в прослой, образуя в нем совокупность волн, которые можно описать соотношением

$$\varphi_1^+ \Big|_0 W_{12} e^{i(k_{2X}X + k_{2Y}Y + k_{2Z}Z)}, \quad (2)$$

где  $k_2$  – волновое число в прослое,  $k_{2i}$  – его компоненты,  $W_{12}$  – коэффициент прозрачности границы между верхним пластом и прослоем. При этом волновые числа связаны законом Снеллиуса:  $k_1 \sin \theta_1 = k_2 \sin \theta_2$ , где  $\theta_1$  – угол её падения на границу пласта,  $\theta_2$  – угол её преломления в породе,  $\varphi_1^+|_0 = \frac{(e^{-ik_{1z}Z_0} + V_{10}e^{ik_{1z}(Z_0+2H_1)})}{1 - V_{10}V_{12}e^{2ik_{1z}H_1}}$ . В результате многократных отражений от границ с угольными пачками образуется поле волн, которое можно описать соотношением:

$$\begin{aligned} \varphi_2 &= \varphi_1^+|_0 W_{12} \times e^{i(k_{2x}X + k_{2y}Y)} \left( e^{ik_{2z}Z} + V_{23}e^{ik_{2z}(2H_2-Z)} \right) \sum_{m=0}^{\infty} (V_{21}V_{23})^m e^{2ik_{2z}mH_2} = \\ &= \varphi_1^+|_0 W_{12} \times e^{i(k_{2x}X + k_{2y}Y)} \frac{(e^{ik_{2z}Z} + V_{23}e^{ik_{2z}(2H_2-Z)})}{(1 - V_{21}V_{23}e^{2ik_{2z}H_2})} \end{aligned} \quad (3)$$

По направлению к нижнему пласту распространяется совокупность волн,

$$\varphi_2^+ = \frac{\varphi_1^+|_0 W_{12} \times e^{i(k_{2x}X + k_{2y}Y + k_{2z}Z)}}{1 - V_{21}V_{23}e^{2ik_{1z}H_2}},$$

которые преломляются в нижний угольный пласт и создают в нем поле

$$\begin{aligned} \varphi_3 &= \varphi_1^+|_0 W_{12} \times \varphi_2^+|_{H_2} W_{23} e^{i(k_{3x}X + k_{3y}Y)} \times \\ &\times \left( e^{ik_{3z}(Z-H_2)} + V_{34}e^{ik_{3z}(2H_3-H_2-Z)} \right) \sum_{m=0}^{\infty} (V_{32}V_{34})^m e^{2ik_{3z}mH_3} = \\ &= \varphi_1^+|_0 W_{12} \times \varphi_2^+|_{H_2} W_{34} e^{i(k_{3x}X + k_{3y}Y)} \frac{(e^{ik_{3z}(H_2+Z)} + V_{34}e^{ik_{3z}(2H_3-H_2-Z)})}{(1 - V_{32}V_{34}e^{2ik_{3z}H_3})} \end{aligned} \quad (4)$$

$$\text{где } \varphi_2^+|_{H_2} = \frac{e^{i(k_{2z}H_2)}}{1 - V_{21}V_{23}e^{2ik_{1z}H_2}}.$$

Структура  $\varphi_3$  отличается от структуры  $\varphi_1$  отсутствием слагаемых в выражении в скобках (второе и четвертое слагаемое в (1)) и присутствием общего множителя  $\varphi_1^+|_0 W_{12} \times \varphi_2^+|_{H_2} W_{23}$ , который, по сути, учитывает вклады верхнего пласта ( $\varphi_1^+|_0$ ) и прослоя

$(\varphi_2^+|_{H_2})$ , а также влияние границ раздела  $(W_{12}, W_{23})$ .

В направлении верхней границы нижнего пласта распространяется совокупность волн

$$\begin{aligned} \varphi_3^- &= \varphi_1^+|_0 W_{12} \times \varphi_2^+|_{H_2} W_{23} e^{i(k_{3X}X + k_{3Y}Y)} V_{34} e^{ik_{3Z}(2H_3 - H_2 - Z)} \sum_{m=0}^{\infty} (V_{32} V_{34})^m e^{2ik_{3Z}mH_3} = \\ &= \varphi_1^+|_0 W_{12} \times \varphi_2^+|_{H_2} W_{23} e^{i(k_{3X}X + k_{3Y}Y)} V_{34} \frac{e^{ik_{3Z}(2H_3 - H_2 - Z)}}{(1 - V_{32} V_{34} e^{2ik_{3Z}H_3})}, \end{aligned}$$

которая преломляется в прослой, создавая в нем поле

$$\begin{aligned} \varphi_2^1 &= \varphi_1^+|_0 W_{12} \times \varphi_2^+|_{H_2} W_{23} \times \varphi_3^-|_{H_2} W_{32} e^{i(k_{2X}X + k_{2Y}Y)} \times \\ &\quad \times \left( e^{ik_{2Z}(H_2 - Z)} + V_{21} e^{ik_{2Z}(H_2 + Z)} \right) \sum_{m=0}^{\infty} (V_{21} V_{23})^m e^{2ik_{2Z}mH_2} = \\ &= \varphi_1^+|_0 W_{12} \times \varphi_2^+|_{H_2} W_{23} \times \varphi_3^-|_{H_2} W_{32} e^{i(k_{2X}X + k_{2Y}Y)} \frac{\left( e^{ik_{2Z}(H_2 - Z)} + V_{21} e^{ik_{2Z}(H_2 + Z)} \right)}{(1 - V_{21} V_{23} e^{2ik_{2Z}H_2})} e^{i(k_{2Z}(H_2 - Z))}, \\ \text{где } \varphi_3^-|_{H_2} &= \frac{V_{34} e^{ik_{3Z}(2H_3 - 2H_2)}}{1 - V_{32} V_{34} e^{2ik_{3Z}H_3}}. \end{aligned}$$

По направлению к верхнему пласту распространяется как часть поля  $\varphi_2^1$ , описываемая соотношением

$$\varphi_1^+|_0 W_{12} \times \varphi_2^+|_{H_2} W_{23} \times \varphi_3^-|_{H_2} W_{32} e^{i(k_{2X}X + k_{2Y}Y)} e^{ik_{2Z}(H_2 - Z)} / \left( 1 - V_{21} V_{23} e^{2ik_{2Z}H_2} \right)^{e^{i(k_{2Z}(H_2 - Z))}},$$

так и часть поля  $\varphi_2$ , имеющая вид:

$$\varphi_1^+|_0 W_{12} \times e^{i(k_{2X}X + k_{2Y}Y)} V_{23} e^{ik_{2Z}(2H_2 - Z)} / \left( 1 - V_{21} V_{23} e^{2ik_{2Z}H_2} \right),$$

что в сумме составляет

$$\varphi_{23}^{1-} = \varphi_1^+|_0 W_{12} \times e^{i(k_{2X}X + k_{2Y}Y)} \frac{\left( \varphi_2^+|_{H_2} W_{23} \times \varphi_3^-|_{H_2} W_{32} e^{ik_{2Z}(H_2 - Z)} + V_{23} e^{ik_{2Z}(2H_2 - Z)} \right)}{(1 - V_{21} V_{23} e^{2ik_{2Z}H_2})}$$

Индекс 23 в обозначении  $\varphi_{23}^{1-}$  указывает на тот факт, что в этом поле учтен вклад как волн в прослое, так и волн, пришедших из нижнего пласта. Преломляясь в верхний пласт, данная система волн образует в нем в результате многократных отражений

поле

$$\varphi_1^+ = \varphi_{23}^{1-}|_0 e^{i(k_{1X}X+k_{1Y}Y)} \left( e^{-ik_{1Z}Z} + V_{10} e^{ik_{1Z}(2H_1+Z)} \right) / \left( 1 - V_{10}V_{12} e^{2ik_{1Z}H_1} \right), \quad (5)$$

$$\text{где } \varphi_{23}^{1-}|_0 = \varphi_{10}^+|_0 W_{12} \times e^{i(k_{2X}X+k_{2Y}Y)} \frac{\left( \varphi_{2|H_2}^+ W_{23} \times \varphi_{3|H_2}^- W_{32} e^{ik_{2Z}H_2} + V_{23} e^{ik_{2Z}H_2} \right)}{\left( 1 - V_{21}V_{23} e^{2ik_{2Z}H_2} \right)}$$

Таким образом, поле, описываемое выражением (5), является результатом взаимодействия поля (1) с прослоем и нижним пластом. Оно в свою очередь порождает дополнительную систему колебаний в прослое и нижнем пласте, и соответствующий вклад от их возврата в верхний пласт и так далее.

Таким образом, суммарное поле в верхнем пласте можно записать в виде

$$\varphi = \varphi_1 + \sum_{n=1}^{\infty} \varphi_1^n, \quad (6)$$

где второе слагаемое — вклад прослая и нижнего пласта в регистрируемое волновое поле,

$$\varphi_1^n = \varphi_{23}^{1-}|_0 \left( \varphi_{23}^{*-}|_0 \right)^{n-1} e^{i(k_{1X}X+k_{1Y}Y)} \frac{\left( e^{-ik_{1Z}Z} + V_{10} e^{ik_{1Z}(2H_1+Z)} \right)}{\left( 1 - V_{10}V_{12} e^{2ik_{1Z}H_1} \right)}, \quad (7)$$

$$\varphi_{23}^{*-}|_0 = \varphi_{10}^{*+}|_0 W_{12} \times e^{i(k_{2X}X+k_{2Y}Y)} \frac{\left( \varphi_{2|H_2}^+ W_{23} \times \varphi_{3|H_2}^- W_{32} e^{ik_{2Z}H_2} + V_{23} e^{ik_{2Z}H_2} \right)}{\left( 1 - V_{21}V_{23} e^{2ik_{2Z}H_2} \right)},$$

$$\varphi_{10}^{*+}|_0 = \frac{V_{10} e^{ik_{1Z}2H_1}}{1 - V_{10}V_{12} e^{2ik_{1Z}H_1}}.$$

Анализируя вид соотношения (7) можно убедиться, что (6) представляет собой бесконечную геометрическую прогрессию и суммарное поле в верхнем пласте можно записать в виде:

$$\varphi = \varphi_1 + \varphi_1^n = \varphi_1 + e^{i(k_{1X}X+k_{1Y}Y)} \left( e^{-ik_{1Z}Z} + V_{10} e^{ik_{1Z}(2H_1+Z)} \right) \left( \varphi_{23}^{1-}|_0 / \left[ \left( 1 - V_{10}V_{12} e^{2ik_{1Z}H_1} \right) \left( 1 - \varphi_{23}^{*-}|_0 \right) \right] \right)$$

ИЛИ

$$\varphi = \left( \begin{array}{l} e^{ik_{1Z}(Z-Z_0)} + V_{10} e^{ik_{1Z}(Z_0+2H_1+Z)} + \\ + V_{12} e^{ik_{1Z}(-Z_0-Z)} + V_{12}V_{10} e^{ik_{1Z}(Z_0+2H_1-Z)} + \\ \left( e^{-ik_{1Z}Z} + V_{10} e^{ik_{1Z}(2H_1+Z)} \right) \left( \varphi_{23}^{1-}|_0 / \left( 1 - \varphi_{23}^{*-}|_0 \right) \right) \end{array} \right) \frac{e^{i(k_{1X}X+k_{1Y}Y)}}{\left( 1 - V_{10}V_{12} e^{2ik_{1Z}H_1} \right)} \quad (8)$$

Искомое поле  $\varphi_{cl}$  можно получить из (8) путем интегрирования по всем направляющим косинусам угла падения волны границу между верхним пластом и прослоем  $\theta$ :

$$\varphi_{cl} = \int_{\Gamma_1} \frac{\left( e^{ik_{1z}(Z-Z_0)} + V_{10}e^{ik_{1z}(Z_0+2H_1+Z)} + V_{12}e^{ik_{1z}(-Z_0-Z)} + V_{12}V_{10}e^{ik_{1z}(Z_0+2H_1-Z)} + (e^{-ik_{1z}Z} + V_{10}e^{ik_{1z}(2H_1+Z)}) \left( \varphi_{23}^{1-} \Big|_0 / (1 - \varphi_{23}^{*-} \Big|_0) \right) \right)}{(1 - V_{10}V_{12}e^{2ik_{1z}H_1})} H_0^{(1)}(k_1 r \sin \theta) \sin \theta d\theta,$$

где  $H_0^{(1)}$  – функция Ханкеля первого рода, метод приведения интеграла к данному виду и особенности пути  $\Gamma_1$  описаны в [1] достаточно подробно и не требует дополнительного анализа.

Рассмотрим физический смысл соотношения (8). Очевидно, что оно с точностью до коэффициента  $\varphi_{23}^{1-} \left( \varphi_{23}^{*-} \Big|_0 \right)^{n-1}$  соответствует соотношению, описывающему поле, образованное в пласте источником, находящимся за его пределами [1]. Исходя из этого можно показать, что поле, образованное в слое внешним источником (расположенном на уровне  $Z_{0BH} < 0$ ) можно записать в виде:

$$\varphi_{1BH} = W_{21} e^{-ik_2 Z_{0BH}} e^{i(k_{1X}X + k_{1Y}Y)} \frac{(e^{-ik_{1z}Z} + V_{10}e^{ik_{1z}(2H_1+Z)})}{(1 - V_{10}V_{12}e^{2ik_{1z}H_1})},$$

где  $W_{21}$  – коэффициент прозрачности нижней границы пласта. Таким образом, можно говорить о том, что близкорасположенный угольный пласт можно рассматривать как дополнительный источник сейсмических колебаний, амплитуда и фаза которого определяются соотношением  $\varphi_{23}^{1-} \left( \varphi_{23}^{*-} \Big|_0 \right)^{n-1}$ .

Изложенные выше зависимости и закономерности изменения структуры волнового поля и характеристик отдельных волновых пакетов следует учитывать при разработке прогнозных критериев и интерпретации материалов шахтной сейсморазведки геологических нарушений угольных пластов. Их использование уменьшит неоднозначность интерпретации данных прогноза и повысит эффективность проведения натуральных сейсмических исследований.

## **СПИСОК ССЫЛОК**

1. Бреховских Л.М. Волны в слоистых средах. – 2-е изд. – М.: Наука, 1973. – 343 с.